



ژئوشیمی و سنگ‌زایی مجموعه‌ی افیولیتی هرسین - صحنه (شمال شرق کرمانشاه - غرب ایران) شاهدی بر زمین ساخت جنوب نئوتیس

رضا زارعی سهامیه^{*} ، علی مرادپور

گروه زمین‌شناسی، دانشکده علوم پایه، دانشگاه لرستان، خرم‌آباد، ایران

(دریافت مقاله: ۹۲/۱۱/۲۶، نسخه نهایی: ۹۳/۵/۲۰)

چکیده: افیولیت‌های موجود در کمریند کوه‌زایی زاگرس بخشی از افیولیت‌های تیسی هستند که به علت موقعیت جغرافیایی خود، افیولیت‌های خاورمیانه و دیگر افیولیت‌های آسیا (نظیر پاکستان و تبت) را به افیولیت‌های مدیترانه (نظیر ترودوس، یونان و شرق اروپا) وصل می‌کنند. ماهیت افیولیت‌های هرسین-صحنه (کرمانشاه) سبب درک نسبی از شاخه‌ی جنوبی اقیانوس مزوژوئیک نئوتیس و بقایای سیستم افیولیتی پری-عربی فرارانده شده بر سپر عربی (گندوانا) می‌شود که در اینجا مورد بررسی قرار گرفته است. شواهد سنگنگاری نشان می‌دهند که دنباله افیولیتی مورد بررسی متشكل از اجزای پوسته‌ای و گوشته‌ای است. به‌طور کلی سنگ‌های موجود در این دنباله شامل پریدوتیت‌های هارزبورزیتی و لرزولیتی، گابروهای کوموله‌ای، پگماتوئیدی، میلوئیتی، همبافت دایکی و پیلولاوهای بازالتی است. شیمی کانی سنگ‌های مافیک هرسین حاکی از محیط جزایر قوسی برای این بخش از مجموعه بوده و ژئوشیمی سنگ‌های مافیک و اولترامافیک منطقه‌ی صحنه ویژگی مورب‌های نوع P را به نمایش می‌گذارد. حضور ترکیب‌های بازالتی مختلف موجود در منطقه را می‌توان به عنوان اثر متقابل بین استنسوفر OIA و MORB تفسیر کرد. روابط صحرایی و شواهد ژئوشیمیایی حاکی از آنند که افیولیت‌های مورد بحث بخشی از یک حوضه‌ی اقیانوسی کافت شده در زون انتقال قاره - اقیانوس بوده که در جنوب اقیانوس نئوتیس شکل گرفته است. شکسته شدن پوسته‌ی نئوتیس و فرورانش آن به زیر خود در کرتاسه پایانی، منجر به توقف فرورانش نئوتیس به زیربلوک سنندج - سیرجان و شکل‌گیری حوضه‌ی قوس - پشت قوس و سنگ‌های وابسته به آن در افیولیت‌های کرمانشاه شده است و مگماتیسم مورب در پاسخ به عقب کشیده شدن زبانه فرورو در حاشیه‌ی قاره‌ای اوراسیا صورت پذیرفته است.

واژه‌های کلیدی: افیولیت‌های تیسی؛ مگماتیسم قوس؛ مورب P؛ زاگرس؛ ایران.

تیس جنوبی مستقر بین سپر عربی (گندوانا) و بلوك قاره-ای سنندج-سیرجان ایران را در خود ثبت کرده‌اند [۲، ۱]. پس از آغاز فرورانش پالئوتیس در کربونیفر پایانی گسترش نئوتیس آغاز شده؛ با بسته شدن نهایی پالئوتیس و برخورد ایران-اوراسیا در کارنین پایانی - نورین آغازین [۳]، فرایند کافتن و گسترش دریائی تیس نیز از پرمین تا تریاس

مقدمه

افیولیت‌های پری-عربی به طول ۳۰۰۰ کیلومتر، کمریند افیولیتی کرتاسه را تشکیل داده‌اند که از عمان تا شمال غرب سوریه، قبرس و آنتالیا روی سپر عربی - تاؤریک فرا رانده شده- اند. افیولیت‌های جنوبی ایران که در راستای رواندگی اصلی زاگرس رخنمون دارند، تکامل ژئودینامیکی اقیانوس

راستای زون راندگی زاگرس و به طور مشخص در مرز بین کمربند زاگرس و زون سندج - سیرجان قرار گرفته‌اند (شکل ۱-ب). این مناطق متشکل از اجزائی از قلمرو تیسی و سفره‌های متعدد زمین ساختی است. این سفره‌ها شامل سفره‌ی رادیولاریتی تغییر شکل یافته؛ که به عنوان یک حوضه‌ی حاشیه قاره‌ای تفسیر شده است، و حدود ۵۰۰ متر ضخامت دارد و روی سازند کامپانین گوربی و فلیش‌های مائستریشتین امیران قرار گرفته است. ورقه‌های رورانده در برخی بخش‌ها با سن‌های مختلف از سانتونین تا مائستریشتین جایگزین شده‌اند. در سفره‌ی رادیولاریتی، قدیمی‌ترین سن به رادیولاریت‌های روستای گاماسیاب (جنوب غرب هرسین) با سن لیاس وابسته است [۱۲].

- افیولیت‌های مناطق هرسین و صحنه؛ متشکل از اجزای گوشه‌ای و پوسته‌ای شامل پریدوتیت، پریدوتیت‌های سرپانتینی شده، گابرو، همبافت دایکی و پیلوبارالتی است. پریدوتیت‌ها متشکل از دونیت، هارزبورژیت و لرزولیت‌اند که به صورت دنباله‌های ضخیم و گستردۀ و گاه به صورت توده‌های کوچک و پراکنده در منطقه رخنمون دارند و گابروها به صورت پگماتوئیدی و میلیونیت دیده می‌شوند. همبافت‌های دایکی و پیلووارایی گسترش کمتری داشته و به دو منطقه تمرک و گشور (بین هرسین و نورآباد) محدود می‌شوند (شکل ۱-الف). سن سنجی‌های انجام شده توسط دلالوی و دسموس [۱۴]، سن $8/8\text{ Ma} \pm 8/3$ (کامپانین) و کارهای وايت چرچ و همکاران [۱۵] سن $9\text{ Ma} \pm 5/6$ را برای دیوریت‌هایی که سنگ‌های آتشفشاری و رسوب‌های فلیشی اثوسن تحتانی (در راستای رودخانه گاماسیاب- منطقه‌ی صحنه) را قطع کرده‌اند تعیین کرد.

- واحد بیستون؛ متشکل از ۱۵۰۰-۳۰۰۰ متر از کربنات‌های آبهای کم عمق است که از نظر سنی از تریاس تا اوایل کرتاسه (سنومانین) را شامل می‌شود. این واحد در دو توده تحت عنوان کوه بیستون و کوه شیرز رخنمون دارد (شکل ۱-پ).

در کوه بیستون، قدیمی‌ترین افق شامل آهک‌های تریاس است و در کوه شیرز، رسوب‌های چرتی روی سرپانتینیت‌ها قرار گرفته‌اند که به سمت بالا مشابه با آهک‌های بیستون می‌شوند. کوه بیستون به سمت جنوب روی سفره‌ی رادیولاریتی و در دیگر بخش‌ها روی دنباله‌ی افیولیتی رانده شده‌اند (تنگ

صورت گرفته است).

به طور کلی سه قطعه‌ی زمین ساختی شامل کمان ماگمای ارومیه - دختر، زون سندج - سیرجان و کمربند چین خورده- تراستی زاگرس در بخش غربی - جنوب غربی ایران وابسته به فرورانش اقیانوس نئوتیس و برخوردگاه بین ورقه‌ی عربی با خردۀ قاره‌ی ایران مرکزی است. کمربند ماگمای ارومیه - دختر متشکل از سنگ‌های نفوذی و آتشفشاری است که بیشترین فعالیت را در ائوسن داشته و پس از یک دوره‌ی خاموشی موقت در خلال میوسن تا پلیوکواترنری دوباره فعالیت را از سر گرفته است [۴]. منطقه سندج - سیرجان با $150-200\text{ km}$ طول و 150 km عرض هسته‌ی دگرگونی برخوردگاه قاره‌ای زاگرس در غرب ایران را تشکیل داده است [۵]. خردۀ قاره‌ی سندج - سیرجان به همراه خردۀ قاره‌هایی نظیر هلمند و هرات در اثر کافتن پرموترياس [۶] از شمال شرق گندوانا جدا شده و از جنوب تیس به جنوب اوراسیا وصل شده‌اند، هرچند اعتقاد بر آنست که سنگ‌های این منطقه با سنگ‌های ورقه‌ی عربی همخوانی ندارد [۷]. در بخش جنوبی؛ نوار افیولیتی نایین - بافت؛ مرز بین منطقه‌ی سندج - سیرجان و کمان ارومیه - دختر است که برخی آن‌ها را حاصل بسته شدن شاخه‌ی شمال غربی اقیانوس مزوژوئیک بین این دو زون و هم ارز افیولیت‌های خوی می‌دانند [۸]. هرچند که کارهای اخیر ارتباط افیولیت‌های خوی با نوار افیولیتی نایین - بافت را نقض کرده [۹] و آن را حاصل شاخه‌ی فرعی نئوتیس (شاخه خوی - زنجان) معرفی کرده‌اند [۱۰، ۱۱]. آغاز فرورانش زون‌های مختلف نئوتیس به زیر کمربند سندج - سیرجان از تریاس تا کرتاسه صورت پذیرفته است [۱۱] و کمربند چین خورده- رانده‌ی زاگرس به عنوان حاشیه‌ی شمالی سپر عربی پس از بسته شدن نئوتیس در ائوسن آغازین تا میانی [۱۲] به ورقه‌ی ایران وصل شده است. مرز این دو منطقه گسل معکوس زاگرس با ریشه‌ای عمیق و نوار افیولیتی کرمانشاه - نیریز است. افیولیت‌های مناطق هرسین و صحنه (شکل ۱-الف) با راستای شمال غربی - جنوب شرقی از شمال شرقی با زون سندج - سیرجان و از جنوب غربی هم مرز با آهک‌های بیستون و رادیولاریت‌های کرمانشاه دیده می‌شوند.

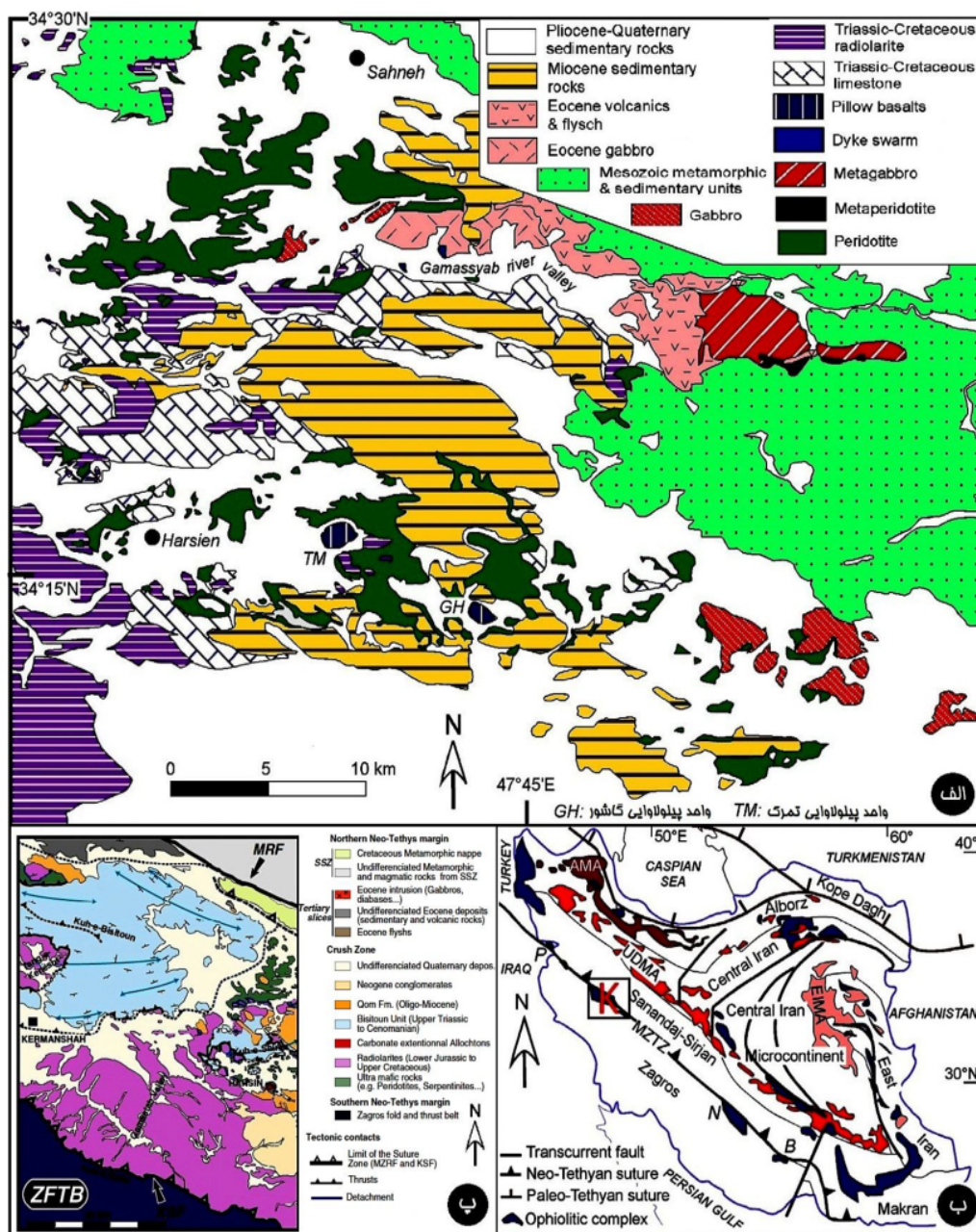
موقعیت زمین‌شناسی

افیولیت‌های مناطق هرسین و صحنه با مختصات $34^{\circ}00' \text{ E}$ تا $47^{\circ}50' \text{ E}$ و $34^{\circ}30' \text{ N}$ عرض شمالی و $47^{\circ}10' \text{ N}$ طول شرقی در

روش بررسی

برای بررسی سنگ‌های مورد نظر، پس از بررسی‌های سنگ‌نگاری، ۱۰ نمونه با کمترین میزان دگرسانی انتخاب و در آزمایشگاه SGS کانادا به روش ICP-MS و ICP-AES تجزیه‌ی شیمیایی شدند که نتایج ۳۲ عنصر اصلی و کمیاب برای ارزیابی ویژگی‌های ژئوشیمیایی در جدول (۱) ارائه شده‌اند.

کیشت، شکل ۱-پ). کوه شیرز نیز در سمت جنوب و شرق روی دنباله‌ی افیولیتی صحنه- هرسین رانده شده است. بازسازی‌های صورت گرفته [۱۶] حاکی از آن است که سکوی بیستون روی یک پوسته‌ی قاره‌ای قدیمی گسترش یافته است. این سکو با یک حوضه‌ی حاشیه‌ای تحت عنوان حوضه هرسین که میزبان یک گودال رادیولاریتی (رادیولاریت‌های کرمانشاه) بود، از صفحه‌ی عربی جدا بوده است.



شکل ۱ (الف) موقعیت افیولیت صحنه- هرسین (K) در ایران. (ب) نقشه زمین‌شناسی دنباله افیولیتی کرمانشاه. (پ) موقعیت واحد بیستون (کوه بیستون و کوه شیرز) در کرمانشاه (اقتباس از [۱۷] با تغییر-[۱۸] با تغییر).

جدول ۱ نتایج بررسی شیمیایی به روش های ICP-MS و ICP-AES نمونه های گابرویی منطقه هر سین (اکسیدها بر حسب درصد وزنی و عناصر کمیاب بر حسب ppm).

نمونه	B10	B12	B14	B19	B23	B05	B07	B09	B13	B22
U	۰,۹۷	۰,۲۷	۰,۰۵	۰,۰۵	۰,۰۵	۰,۰۵	۰,۸۳	۰,۵۲	۱,۳۶	۰,۵۸
W	۱	۱	۱	۱	۱	۱	۱	۱	۱	۱
Sn	۱	۱	۱	۱	۱	۱	۱	۱	۱	۱
Ba	۲۰	۲۰	۱۰	۲۰	۱۰	۲۰	۲۰	۲۰	۱۰	۲۰
Rb	۲,۶	۰,۰۸	۱,۲	۰,۳	۰,۲	۰,۵	۱,۱	۰,۵	۰,۲	۰,۰۴
Sr	۲۸۰	۲۸۰	۱۸۰	۲۰۰	۲۵۰	۲۷۰	۲۲۰	۳۱۰	۲۰۰	۳۱۰
Zr	۸,۲	۶,۸	۵,۹	۷,۵	۴,۵	۶,۶	۷,۴	۲,۶	۲	۱,۳
Nb	۱	۱	۱	۱	۱	۱	۱	۱	۱	۱
Th	۰,۹	۰,۵	۰,۲	۰,۲	۰,۱	۰,۱	۰,۵	۰,۵	۰,۷	۰,۶
Ga	۱۲	۱۱	۱۱	۱۱	۱۲	۱۰	۱۱	۱۲	۱۲	۱۳
Zn	۲۴	۲۲	۳۳	۳۰	۱۸	۲۹	۱۷	۳۲	۲۹	۲۲
Cu	۵۶	۹۱	۸۹	۸۰	۳۹	۵۹	۷۰	۵۱	۶۰	۱۳
Ni	۱۲۶	۲۳۸	۱۶۲	۱۸۳	۱۷۴	۲۳۹	۱۷۶	۳۵۸	۲۰۹	۲۲۶
V	۹۳	۹۶	۱۰۹	۱۰۵	۷۱	۹۶	۱۴۸	۴۷	۳۶	۲۲
Cr	۹۵۸	۶۸۴	۲۰۵	۲۷۴	۴۷۹	۶۱۶	۶۸	۷۵۳	۳۴۲	۲۷۴
Hf	۱	۱	۱	۱	۱	۱	۱	۱	۱	۱
Cs	۰,۲	۰,۱	۰,۱	۰,۱	۰,۱	۰,۱	۰,۱	۰,۱	۰,۱	۰,۱
Ta	۰,۵	۰,۵	۰,۵	۰,۵	۰,۵	۰,۵	۰,۵	۰,۵	۰,۵	۰,۵
Co	۲۹,۸	۴۱,۶	۳۳	۳۱,۲	۲۳,۴	۳۰,۴	۲۹,۱	۴۱	۳۹,۷	۲۹,۹
Y	۸,۳	۶,۸	۶,۷	۷,۴	۵,۱	۵,۹	۸,۵	۳,۲	۲,۹	۱,۶
La	۳,۴	۲,۴	۱,۹	۱,۴	۰,۸	۱,۳	۲,۴	۲,۴	۱,۸	۳,۸
Ce	۴	۳,۱	۱,۲	۱,۵	۰,۷	۱,۶	۲,۸	۲,۷	۱,۴	۱,۷
Pr	۰,۶۹	۰,۴۹	۰,۳۹	۰,۳۷	۰,۲۲	۰,۳۹	۰,۵۰	۰,۴۱	۰,۲۹	۰,۲۷
Nd	۳,۵	۲,۵	۱,۸	۱,۹	۱,۳	۲	۲,۷	۱,۸	۱,۲	۱,۱
Sm	۰,۹	۰,۷	۰,۶	۰,۶	۰,۵	۰,۷	۰,۹	۰,۵	۰,۳	۰,۲
Eu	۰,۵۲	۰,۴۵	۰,۴۸	۰,۴۳	۰,۴	۰,۵۲	۰,۶۱	۰,۴۲	۰,۳۵	۰,۲۹
Gd	۱,۳	۱,۵	۰,۸۸	۰,۹۵	۰,۷۹	۱	۱,۳۸	۰,۵۶	۰,۴۳	۰,۱۸
Tb	۰,۲۲	۰,۱۷	۰,۱۷	۰,۱۸	۰,۱۱	۰,۱۷	۰,۲۲	۸,۰۸	۰,۰۷	۰,۰۵
Dy	۱,۴۴	۱,۱۱	۱,۱۵	۱,۲۳	۰,۸۳	۱,۰۶	۱,۴۸	۰,۵۴	۰,۴۴	۰,۲۳
Ho	۰,۳۱	۰,۲۴	۰,۲۱	۰,۲۳	۰,۱۶	۰,۲۱	۰,۲۸	۰,۱۲	۰,۱	۰,۰۵
Er	۰,۸۷	۰,۷۲	۰,۶۳	۰,۷۶	۰,۵۱	۰,۵۸	۰,۸۲	۰,۲۹	۰,۲۶	۰,۱۲
Tm	۰,۱۲	۰,۱۰	۰,۰۹	۰,۱۰	۰,۰۷	۰,۰۹	۰,۱۲	۰,۰۵	۰,۰۵	۰,۰۵
Yb	۰,۷	۰,۰۵	۰,۰۵	۰,۶	۰,۴	۰,۵	۰,۸	۰,۳	۰,۲	۰,۱۰
Lu	۰,۰۹	۰,۰۸	۰,۰۸	۰,۰۸	۰,۰۵	۰,۰۸	۰,۱۲	۰,۰۵	۰,۰۵	۰,۰۵
Mg #	۰,۸۹	۰,۸۶	۰,۸۶	۰,۸۸	۰,۸۹	۰,۸۶	۰,۸۷	۰,۸۶	۰,۸۰	۰,۶۷

ادامه جدول ۱

نمونه	SiO ₂	TiO ₂	Al ₂ O ₃	Fe ₂ O ₃	FeO	MgO	MnO	CaO	Na ₂ O	K ₂ O	P ₂ O ₅	LOI	Total
B22	۴۸,۲	۰,۰۶	۲۲,۰۲	۱,۵۶	۲,۲	۰,۰۵	۸,۶۵	۱,۰۶	۳,۱	۰,۰۱	۰,۰۱	۰,۴۱	۹۹,۹۶
B13	۴۸,۱۵	۰,۱۱	۲۱,۷۶	۱,۵۹	۳,۵۰	۰,۰۸	۱۰,۳۴	۱۰,۸۳	۲,۸۶	۰,۰۲	۰,۰۱	۰,۷۴	۹۹,۹۸
B09	۴۷,۴۳	۰,۱۲	۱۲,۶۵	۱,۵۹	۳,۳۰	۰,۰۸	۱,۰۹۲	۱۱,۵۱	۲,۴۶	۰,۱۰	۰,۰۱	۰,۷۶	۹۹,۹۲
B07	۵۰,۲۵	۰,۲۷	۱۷,۵۷	۱,۸	۲,۰۱	۰,۰۷	۹,۶۷	۱۳,۸۹	۲,۶۶	۰,۱	۰,۰۱	۰,۵۶	۹۹,۳۵
B05	۴۹,۱	۰,۲۴	۱۸,۵۰	۱,۷۴	۲,۴۸	۰,۰۷	۹,۷۸	۱۳,۶	۲,۶	۰,۱	۰,۰۱	۱	۹۹,۲۲
B23	۴۹,۶۱	۰,۱۹	۲۰,۳۸	۱,۷۲	۲,۲۹	۰,۰۷	۷,۸۲	۱۳,۳۵	۲,۷۵	۰,۰۵	۰,۰۱	۱,۶۶	۹۹,۹۱
B19	۵۰,۰	۰,۲۵	۱۶,۵۰	۱,۷۵	۲,۷۰	۰,۰۸	۱۱,۲۰	۱۳,۷۰	۲,۳۰	۰,۰۱	۰,۰۱	۰,۸۶	۹۹,۹۵
B14	۴۹,۸۰	۰,۲۴	۱۸,۲۰	۱,۷۴	۳,۱۲	۰,۰۸	۹,۸۵	۱۲,۹۰	۲,۷۰	۰,۰۳	۰,۰۱	۰,۷۶	۹۹,۴۳
B12	۴۸,۴۰	۰,۱۹	۱۷,۵۸	۱,۶۷	۳,۱۲	۰,۰۸	۱۲,۴۵	۱۳,۷۲	۱,۹۸	۰,۰۸	۰,۰۱	۰,۷۵	۹۹,۸۳
B10	۴۹,۴۶	۰,۲۶	۱۸,۷۸	۱,۸	۲,۸۴	۰,۰۸	۹,۲۱	۱۴,۵۷	۲,۳۶	۰,۰۸	۰,۰۱	۰,۵۳	۹۹,۷۸

جدول ۲ ترکیب شیمیایی میانگین نمونه‌های الیوین در دنباله‌ی گابرویی هرسین و فرمول ساختاری بر پایه ۴ اتم اکسیژن.

شماره نمونه	B7	B13	B22
میانگین تعداد آنالیزها	۲	۹	۶
اکسید عناصر			
SiO ₂	۴۷.۵۵	۴۸.۹۶	۴۷.۰۰
TiO ₂	۱.۰۳	۰.۱۰	۰.۷۵
Al ₂ O ₃	۰.۰۲	۰.۰۲	۰.۰۲
FeO	۱۶.۶۸	۱۷.۱۵	۱۶.۶۸
MnO	۰.۲۷	۰.۰۰	۰.۰۷
MgO	۴۲.۴۲	۴۲.۵۵	۴۴.۴۷
CaO	۰.۰۵	۰.۰۴	۰.۰۵
Na ₂ O	۰.۰۸	۰.۰۵	۰.۰۳
K ₂ O	۰.۰۳	۰.۰۲	۰.۰۱
Total	۹۹.۱۲	۹۸.۸۹	۹۹.۰۸
Si	۰.۹۶	۱.۰۰	۰.۹۵
Al	۰.۰۰	۰.۰۰	۰.۰۰
T-site	۰.۹۶	۱.۰۰	۰.۹۵
Ti	۰.۰۲	۰.۰۰	۰.۰۱
Fe ²⁺	۰.۳۵	۰.۳۷	۰.۳۴
Mn	۰.۰۱	۰.۰۰	۰.۰۰
Mg	۱.۶۵	۱.۶۳	۱.۶۶
Ca	۰.۰۰	۰.۰۰	۰.۰۰
Na	۰.۰۰	۰.۰۰	۰.۰۰
K	۰.۰۰	۰.۰۰	۰.۰۰
Cations	۲.۰۵	۲.۰۰	۲.۰۷
Mg/Fe+Mg	۰.۸۳	۰.۸۲	۰.۸۳

جدول ۳ ترکیب شیمیایی نمونه‌های پلازیوکلаз دنباله‌ی گابرویی هرسین و فرمول ساختاری بر پایه ۳۲ اتم اکسیژن.

شماره نمونه	B7	B13	B22
میانگین تعداد آنالیزها	۷	۸	۸
اکسید عناصر			
SiO ₂	۵۱.۱۲	۵۰.۸۸	۵۱.۶۶
TiO ₂	۰.۲۳	۰.۶۹	۰.۴۱
Al ₂ O ₃	۲۹.۲۹	۳۰.۰۶	۳۰.۰۶
FeO	۰.۵۹	۰.۱۰	۰.۰۶
MnO	۰.۱۱	۰.۰۰	۰.۰۰
MgO	۰.۰۱	۰.۰۲	۰.۰۲
CaO	۱۲.۶۹	۱۲.۷۳	۱۲.۸۰
Na ₂ O	۴.۶۱	۴.۶۰	۴.۵۴
K ₂ O	۰.۱۸	۰.۰۴	۰.۱۵
Total	۹۸.۸۳	۹۸.۸۹	۹۹.۶۹
Si	۲.۳۶	۲.۳۴	۲.۳۶
Al	۱.۵۹	۱.۶۳	۱.۶۱
T-site	۳.۹۶	۳.۹۷	۳.۹۷
Ti	۰.۰۱	۰.۰۲	۰.۰۱
Fe ²⁺	۰.۰۲	۰.۰۰	۰.۰۰
Mn	۰.۰۰	۰.۰۰	۰.۰۰
Mg	۰.۰۰	۰.۰۰	۰.۰۰
Ca	۰.۶۳	۰.۶۳	۰.۶۲
Na	۰.۴۱	۰.۴۱	۰.۴۲
K	۰.۰۱	۰.۰۰	۰.۰۱
X site	۱.۰۸	۱.۰۴	۱.۰۴
Ab	۳۹.۲۶	۳۹.۲۹	۳۸.۷۶
An	۵۹.۷۶	۶۰.۱۹	۶۰.۳۹
Or	۱.۰۱	۰.۲۴	۰.۸۹

ترکیب شیمیایی کانی‌های روی مقاطع نازک صیقلی، تهیه شده از ۳ نمونه سنگ گابروئی، برای ۱۱ عنصر، و با استفاده از یک پردازنده‌ی الکترونی مدل Cameca SX100، در مرکز تحقیقات فرآوری مواد معدنی ایران، تعیین شد. شرایط عملیاتی باریکه، پرتو ایکس ۱۵ کیلو ولت و جریان کاونده‌ی ۲۰ نانو آمپر بود. کانی‌های سیلیکاتی طبیعی به عنوان مواد استاندارد مرجع برای مدرج کردن استفاده شد. خطای بررسی برای عناصر اصلی ۱٪ و برای عناصر فرعی ۵٪ بود. نتایج میانگین تجزیه‌ی شیمیایی کانی‌های پیروکسن، الیوین، پلازیوکلاز روی ۳ نمونه مقطع نازک صیقلی در جدول‌های ۴-۲ ارائه شده است. همچنین تعداد ۲۰ نمونه جمع آوری شده نیز به روش XRF آنالیز شدند. در این آنالیز نیز ۴ گرم از هر نمونه از ذرات با قطر ۶۰ میکرون همراه با ۰.۴ گرم لیتیم بورات با اندازه-گیری طول موج با دستگاه PW2404 برای تعیین عناصر اصلی و جزئی نمونه‌های اولترامافیک و مافیک استفاده شد که نتایج در جدول ۵ و ۶ ارائه شده‌اند.

سنگنگاری

الف: پریدوتیت‌ها: پائینترین واحد سنگی مجموعه‌ی افیولیتی با پریدوتیت‌های گوشه‌ی آغاز می‌شود. پریدوتیت‌ها گاه به صورت دنباله‌های ضخیم و گسترده بین منطقه‌ی صحنه- هرسین و گاه به صورت توده‌های کوچک و پراکنده (در مسیر جاده‌ی صحنه- بیستون) رخنمون دارند. دونیت‌ها در منطقه درصد کمی از حجم مجموعه اولترامافیکی را به خود اختصاص داده- اند. این سنگ‌ها بیشتر دارای بافت گرانولار و از الیوین (بیش از ۹۰٪) به عنوان سازنده‌ی اصلی و از کانی‌های انسنتاتیت (۳٪)، دیپسید و اوژیت دیپسیدی (۱-۲٪) و کانی‌های کدر شامل اکسید آهن و کروم اسپینل (کمتر از ۰.۲٪) به صورت سازندگان فرعی تشکیل شده‌اند. نمونه‌های پریدوتیتی اغلب هارزبورزیتی و متتشکل از الیوین (۷۰-۶۰٪)، ارتوبیپروکسن (۴۰-۳۰٪)، کلینوبیپروکسن و کروم اسپینل (۱-۲٪) و دارای بافت گرانولار اند؛ حضور شکنج در الیوین، ارتوبیپروکسن و کلینوبیپروکسن‌های درشت دانه (شکل ۲-الف) را می‌توان دال بر تغییر شکل پلاستیک گوشه‌های در دمای بالا دانست [۱۹].

جدول ۴ ترکیب شیمیایی نمونه‌های پیروکسن دنباله‌ی گابرویی هرسین و فرمول ساختاری بر پایه‌ی ۶ اتم اکسیژن.

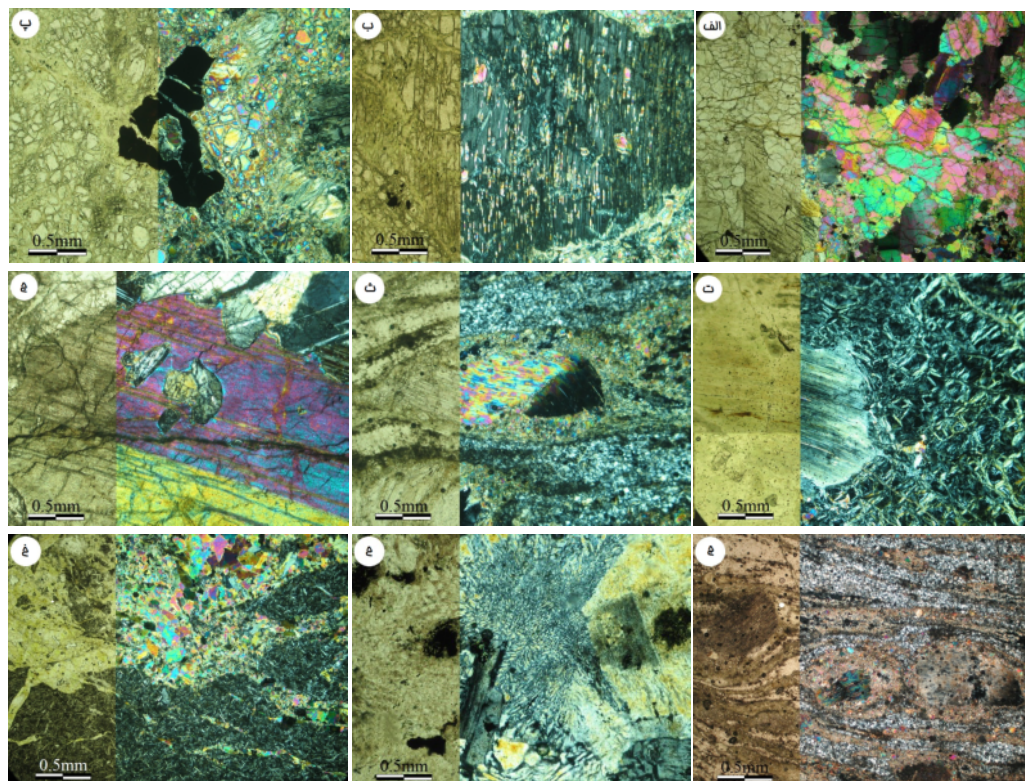
شماه نمونه	B7	B13	B22
میانگین تعداد آنالیزها	۱۰	۴	۳
اکسید عناصر			
SiO ₂	۵۰.۶۷	۵۰.۰۹	۵۰.۲۶
TiO ₂	۰.۹۶	۱.۴۰	۰.۸۸
Al ₂ O ₃	۲۸.۲	۰.۴۴	۳.۷۲
FeO	۶.۰۱	۵.۰۰	۴.۴۱
MnO	۰.۰۵	۰.۰۰	۰.۰۰
MgO	۱۷.۶۱	۱۷.۱۲	۱۶.۲۷
CaO	۲۰.۷۰	۲۱.۲۲	۲۲.۱۷
Na ₂ O	۰.۴۵	۰.۵۶	۰.۵۳
K ₂ O	۰.۰۲	۰.۰۱	۰.۰۱
Total	۹۹.۲۸	۹۹.۴۲	۹۹.۳۴
Si	۱.۸۶	۱.۸۱	۱.۸۴
Al	۰.۱۲	۰.۱۸	۰.۱۵
T-site	۱.۹۸	۱.۹۸	۱.۹۹
Al	۰.۰۰	۰.۰۰	۰.۰۱
Ti	۰.۰۳	۰.۰۵	۰.۰۲
Mg	۰.۹۶	۰.۹۲	۰.۹۰
Fe ²⁺	۰.۱۸	۰.۱۶	۰.۱۳
Mn	۰.۰۰	۰.۰۰	۰.۰۰
Ca	۰.۸۱	۰.۸۵	۰.۹۲
Na	۰.۰۳	۰.۰۴	۰.۰۴
K	۰.۰۰	۰.۰۰	۰.۰۰
M-site	۲.۰۲	۲.۰۲	۲.۰۱
Wo	۴۱.۳۹	۴۴.۰۴	۴۷.۲۰
En	۴۹.۲۲	۴۷.۶۶	۴۶.۲۲
Fs	۹.۴۰	۸.۲۹	۶.۴۸

جدول ۵ نتایج بررسی شیمیایی به روش XRF نمونه‌های گابروی صحنه (اکسیدها بر حسب درصد وزنی و عناصر کمیاب بر حسب ppm).

اکسید	MX-1	K-5	D-4	D-5	MS-3	K-4	C-1	G-1
SiO ₂	۵۰.۶۶	۴۹.۴۷	۴۷.۰۶	۴۸.۷۱	۴۰.۲۷	۵۴.۰۹	۴۷.۴۸	۵۱.۶۷
Al ₂ O ₃	۱۴.۶۶	۱۶.۳۹	۱۷.۵۳	۱۳.۳۴	۲۲.۴۶	۲۱.۰۴	۱۷.۹۹	۱۲.۷۳
Fe ₂ O ₃	۱.۹۴	۱.۶۴	۱.۹۰	۱.۶۹	۱.۵۰	۱.۹۶	۲.۱۵	۲.۷
FeO	۲.۳۲	۲.۶۷	۳.۸۰	۷.۷۰	۱.۴۶	۲.۲۰	۱.۶	۶.۱۷
MgO	۱۱.۷۵	۱۲.۲۹	۱۲.۷۵	۱۳.۴۴	۱۶.۱۸	۴.۶۸	۱۰.۰۵	۹.۳۱
CaO	۱۲.۱۶	۱۴.۹۸	۱۳.۶	۱۰.۹۷	۱۶.۳۹	۱۰.۶۳	۹.۰۲	۱۲.۸۱
Na ₂ O	۴.۴۷	۱.۱۲	۲.۰۷	۲.۷۴	۰.۴۵	۲.۷۹	۲.۵۷	۲.۰۵
K ₂ O	۰.۰۵	۰.۰۴	۰.۲۲	۰.۰۶	۰.۱۱	۰.۱۱	۰.۹۱	۰.۰۲
MnO	۰.۱۲	۰.۱۱	۰.۱۴	۰.۱۸	۰.۰۲	۰.۰۱	۰.۱۷	۰.۱۴
TiO ₂	۰.۴۴	۰.۱۴	۰.۴	۰.۱۹	۰.۰۲	۰.۴۶	۰.۸۵	۰.۵۷
P ₂ O ₅	۰.۰۲	۰	۰.۰۲	۰.۰۴	۰.۰۱	۰.۰۱	۰.۰۵	۰.۰۴
Cs	۲۳	۲۹	۲۰	۲۲	۲۰	۲۴	۱۹	۲۳
Ga	۱۳	۱۱	۱۲	۱۳	۱۲	۱۴	۱۳	۱۰
Mo	۲	۱	۲	۲	۱	۲	۱	۲
Sn	۴	۴	۴	۴	۵	۵	۴	۵
Th	۱	۴	۳	۱	۴	۲	۲	۳
Ni	۱۵۵	۲۸۹	۱۸۹	۲۱۵	۱۲۰	۱۴۰	۷۷	۷۸
Rb	۱	۱	۱	۱	۲	۲	۴	۱
Sr	۱۰.۱	۱۴۱	۱۵۴	۱۱	۱۵۰	۱۵۵	۶۸۶	۴۱
Y	۱۸	۱۰	۸	۱۷	۱۲	۱۰	۲۳	۱۵
Cr	۷۱.۰	۸۲۶	۶۳۳	۷۱۹	۵۲۰	۵۶۰	۳۱۲	۱۲۸
Zr	۴۵	۴۹	۵۲	۵۱	۵۰	۵۸	۹۵	۴۶
Nb	۳	۲	۲	۱	۳	۱	۱	۷
Ba	۴۰.۸	۴۱۰	۴۱۲	۳۹۸	۳۹۵	۳۵۱	۴۰۰	۴۰۳
La	۱۳	۱۴	۱۳	۱۱	۱۲	۱۳	۱۳	۱۳
Ce	۱۱	۱۱	۱۱	۱۱	۱۱	۱۱	۱۸	۱۱
Nd	۰	۱	۴	۲	۵	۳	۶	۶
Sm	۰	۳	۱	۳	۳	۲	۱	۲
Yb	۲	۲	۲	۲	۲	۲	۲	۲
Eu	۱	۱	۱	۱	۱	۱	۲	۱
Sc	۳۲	۳۵	۳۳	۳۰	۲۹	۲۸	۲۸	۳۱
V	۱۸.۰	۱۷۷	۱۷۶	۱۹۳	۱۸۰	۱۹۸	۱۹۰	۱۸۷
Pb	۸	۴	۶	۳	۵	۴	۵	۸
Cu	۱۱.۸	۸.۷	۴.۵	۳.۵	۳.۸	۲.۶	۱۲۳	۷.۸
Co	۵.۰	۵.۱	۵.۰	۴.۷	۵.۳	۵.۰	۴.۷	۴.۸
Zn	۲.۵	۲.۲	۱.۴	۱.۳	۲.۰	۱.۷	۴.۲	۱.۱
Total	۹۸.۶	۹۹.۱۱	۹۹.۴۵	۹۹.۲۸	۹۸.۶۴	۹۸.۹۸	۹۹.۵۵	۹۸.۱۱

جدول ۶ نتایج بررسی شیمیایی به روش XRF نمونه‌های پریدوتیت صحنه (اکسیدها بر حسب درصد وزنی و عناصر کمیاب بر حسب ppm).

اکسید	P-9	MD-3	P-1	H-2	P-5	H-1
SiO ₂	۳۵.۵۱	۴۴.۲۳	۳۶.۴۵	۴۶.۵۰	۳۵.۸۶	۳۷.۴۴
Al ₂ O ₃	۵	۴.۶۳	۹.۶۹	۴.۷۰	۵.۱۱	۴.۷۵
Fe ₂ O ₃	۱.۵۰	۱.۵۱	۱.۵۳	۱.۵۱	۱.۵۰	۱.۵۱
FeO	۴.۷۹	۸.۷۸	۸.۱۹	۸.۱۲	۹.۲۹	۸.۲۶
MgO	۴۸.۶۹	۴۹.۵۱	۴۵.۰۱	۴۷.۴۲	۴۶.۹۵	۴۶.۱۲
CaO	۱.۱۵	۰.۴۹	۱.۷۹	۰.۷۳	۱.۰۳	۰.۷۶
Na ₂ O	۰.۰۴	۰.۰۵	۰.۲۱	۰.۰۵	۰.۰۸	۰.۰۴
K ₂ O	۰	۰.۰۱	۰.۱۵	۰	۰.۰۱	۰
MnO	۰.۱۲	۰.۱۳	۰.۱۳	۰.۱۲	۰.۱۳	۰.۱۳
TiO ₂	۰	۰.۰۱	۰.۰۳	۰.۰۱	۰	۰.۰۱
P ₂ O ₅	۰.۰۱	۰.۰۱	۰.۰۱	۰.۰۱	۰.۰۱	۰.۰۱
Ga	۱	۴	۵	۲	۴	۲
Ni	۲۸.۵۰	۲۲.۱۳	۲۶.۲۸	۳۰.۰۴	۲۹.۰۱	۲۹.۲۰
Sr	۵	۸	۱۰	۱۲	۱۲	۶
Y	۲	۴	۴	۲	۴	۳
Cr	۱۱۷	۱۱۲	۱۰۰	۱۲۲	۱۲۷	۱۳۳
Ba	۲۲	۲۲	۲۲	۲۲	۲۲	۲۲
La	۱	۰	۰	۱	۰	۱
Yb	۱	۰	۱	۰	۱	۰
Eu	۱	۱	۱	۱	۱	۱
Sc	۳	۱	۵	۴	۴	۵
V	۲۱	۴	۲۵	۹	۱۵	۱۴
Pb	۳	۴	۴	۴	۴	۳
Cu	۸	۵	۲۶	۲	۵۰	۱۹
Co	۱۲۲	۱۳۱	۱۳۱	۱۲۲	۱۲۸	۱۲۵
Zn	۶۸	۶۸	۷۰	۶۶	۶۹	۶۹
Total	۹۹.۸۱	۹۹.۳۶	۹۹.۱۹	۹۹.۱۷	۹۹.۷۹	۹۹.۰۳



شکل ۲ تصاویر مقاطع میکروسکوپی در نور معمولی و قطبیده. (الف) نمونه هارزبورزیتی با شکنج در الیوین. (ب) تیغه‌های جدایشی کلینوپیروکسن در ارتوپیروکسن. (پ) بلورهای کروم اسپینل در نمونه‌های پریدوتیتی. (ت) بافت غربالی در سرپانتنیت‌ها. (ث) پیچ و تاب خودگی نامتناصر ارتوپیروکسن در هارزبورزیت. (ج) درشت بلورهای کلینوپیروکسن و پلازیوکلاز در گابروهای پگماتوئیدی. (چ) بلورهای کلینوپیروکسن در ماتریکس ریز بلور پلازیوکلاز در گابروهای میلونیتی. (ح) بافت گرافیکی ناشی از همرشدی کوارتز و پتاسیم فلدسپار. (خ) نمونه‌ی میکروسکوپی اجزای دایکی.

اند. همبافت دایکی واقعی (نظیر همبافتهای گزارش شده در دنباله‌ی افیولیتی عمان) وجود ندارد، بافت آن‌ها ریز‌دانه و بافت اینترستال بوده؛ و مجموعه کانی‌های موجود در این سنگ‌ها (اکتینولیت، کلسیت، زئولیت، اپیدوت و آلبیت) دال بر دگرسانی گرمابی در این سنگ‌هاست. پیلولاواها بافت آفیریک، میان‌دانه‌ای و یا ساب افیتیک را به نمایش می‌گذارند. مجموعه کانی‌های موجود در این سنگ‌ها (اکتینولیت، اپیدوت و کلریت) نیز همانند دایک‌ها، نشان دهنده رخداد شرایط دگرسانی گرمابی در آن‌هاست (شکل ۲-خ)، و حضور اسمکتیت، زئولیت و کلسیت دال بر تبلور در شرایط دمای پایین در آن‌هاست.

بحث و بررسی

از آن جاکه سنگ‌های رخنمون یافته در منطقه‌ی هرسین دارای ترکیب مافیک و سنگ‌های بین صحنه- هرسین به طور کلی دارای ترکیبات مافیکی و اولترامافیکی است، لذا به‌منظور تعیین سری ماقم‌ای، شیمی ماقما و شکل‌گیری آن‌ها، بررسی‌های ژئوشیمیائی روی این سنگ‌ها به عمل آمد. نتایج حاصل در نمودارهای مختلفی نشان داده شدند که برخی از آن‌ها ارائه شده و باقیمانده نمودارها به‌دلیل گستردگی مطالب آورده نشده‌اند، ولی نتایج حاصل از آن‌ها مطرح شده‌اند.

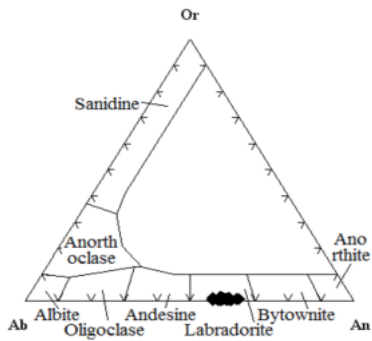
بر مبنای داده‌های پردازش الکترونی، فرمول ساختاری میانگین محاسبه شده بر پایه چهار اتم اکسیژن برای الیوین‌ها $[Si_{0.97} O_{3.98}]$ ، $Mg_{1.65}$, $Fe^{2+}_{0.35}$ $Ti_{0.01}$ ، بر اساس طرح $Mg/(Fe^{2+} + Mg)$ نتایج در نمودار $Fe^{2+}/(Fe^{2+} + Mg)$ در برابر $(Fe^{2+} + Mg)$ ترکیب الیوین در گستره‌ی کربیزولیت قرار می‌گیرد (شکل ۳-).

ترکیب میانگین ۳ نمونه الیوین در سنگ‌های گابریوئی منطقه‌ی هرسین همراه با فرمول ساختاری در جدول (۲) ارائه شده‌اند. نتایج آنالیز شیمیایی نمونه‌های پلازیوکلаз در سنگ‌های گابریوئی منطقه‌ی هرسین نشان می‌دهد که محتوای آنورتیت از ۵۶,۵٪ تا ۶۴,۶٪ تغییر می‌کند. بر مبنای داده‌های پردازش الکترونی، فرمول ساختاری میانگین محاسبه شده بر پایه سی و دو اتم اکسیژن برای پلازیوکلازها $Ca_{0.63}$, $Na_{0.41}$, $K_{0.01}$ است. چنانکه در شکل (۴) مشاهده می‌شود در نمودار مثلثی $Or-Ab-An$ ، ترکیب پلازیوکلازها در گستره‌ی لاپرادوریت قرار می‌گیرد. ترکیب میانگین ۳ نمونه پلازیوکلاز سنگ‌های گابریوئی همراه با فرمول ساختاری در جدول (۳) ارائه شده است.

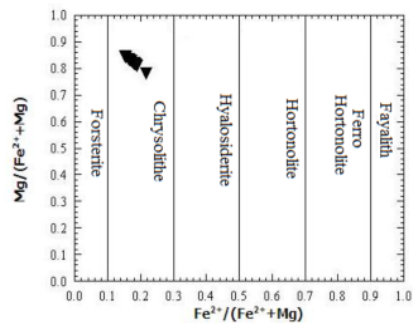
لرزولیت‌های با بافت‌های پورفیروکلاستیک، تیغه‌های جدایشی از کلینوپیروکسن در ارتوبیروکسن با آرایش ناپیوسته (شکل ۲-ب) در راستای رخ همراه با شکنج را نشان می‌دهند. بلورهای کروم اسپینل در نمونه‌های پریدوتیتی بی‌شکل تا نیمه شکل دارند (شکل ۲-پ). در برخی مناطق نمونه‌های پریدوتیتی به صورت فراگیر دگرسان (سرپانتینیزه) شده و به محلوطی از لیزاردیت، کربیزوتیل و بروسیت تبدیل شده‌اند. دگرسانی در این نمونه‌ها سبب ایجاد بافت غربالی شده است (شکل ۲-ت). ارتوبیروکسن (انستاتیت) در برخی نمونه‌ها با پیچ و تاب و به شکل نامتقارن دیده شد (شکل ۲-ث).

ب: گابریوها: نمونه‌های گابریوئی در حد فاصل روستای سیاه چقا و روستای گروس دارای رخنمون شده‌اند. در بخشی از منطقه؛ رودخانه گاما‌سیاب، به پیروی از گسل وارون جنوب صحنه که دارای روندی شرقی - غربی است. سبب جدایی سنگ‌های رسوبی و آذرین از هم شده است. این نمونه‌ها از نظر بافت متفاوتند و اندازه‌ی بلورها از کوچک تا درشت در تغییر است. از ویژگی‌های سنگ‌نگاری پلازیوکلاز موجود در این سنگ‌ها به صورت تاخوردگی مکرر، کوتاه یا سرنیزه‌ای و خمیدگی ضعیف سطوح تاخورده و خاموشی موجی در پلازیوکلازها دیده شدند. برخی نمونه‌های گابریوئی بافت آدکومولوس تا مزوکومولوس نشان می‌دهند و برخی نیز حاوی بلورهای درشت پگماتیتی از پلازیوکلاز ($60\%-50\%$) و ارتوبیروکسن ($20\%-30\%$) و الیوین ($20\%-10\%$) هستند (شکل ۲-ج). متاگابریوها به صورت کلی درشت دانه بوده و میلونیتی هستند (حد فاصل روستاهای شوه و گروس) در این روستاهای سنگ‌ها به صورت متناوب دارای لایه‌هایی از پلازیوکلاز، ترمولیت و اکتینولیت دیده شدند. آثار اندکی از کلینوپیروکسن به صورت محلی حفظ شده‌اند. بافت پورفیروبلاستیک در نمونه‌ها قابل مشاهده است. در نمونه‌های مختلف پورفیروبلاست‌ها، از پلازیوکلاز، کلینوپیروکسن و به صورت محلی از الیوین وجود دارند (شکل ۲-ج).

ج: پلازیوگرانیتها، دایک‌ها و پیلولاواها: سنگ‌های پلازیوگرانیتی پس از روستای سر آسیابان و درکه قابل مشاهده‌اند. نبود برخوردگاه دگرگونی در اطراف این سنگ‌ها با دنباله‌های مجاور، حاکی از سرد شدن، دمای پایین ماقم‌ای گرانیتی است. در این نمونه‌ها بافت گرافیکی وجود دارد که بیانگر تبلور دمای پایین نزدیک به اوتکتیک کوارتز + پتاسیم فلدسپار است (شکل ۲-ح). دایک‌ها بین منطقه صحنه و هرسین قرار گرفته‌اند که هارزبورزیت‌ها و گابریوها را قطع کرده-



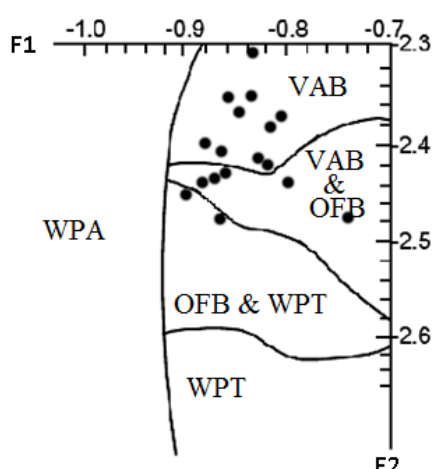
شکل ۴ ترکیب فلدسپارهای پلازیوکلاز سنگ‌های گابرویی هرسین در نمودار مثلثی Ab-An-Or



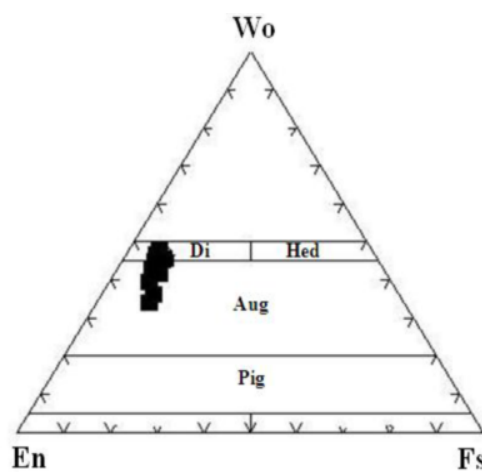
شکل ۳ ترکیب الیوین سنگ‌های گابرویی بر پایه نمودار $\text{Mg}/(\text{Fe}^{2+}+\text{Mg})$ نسبت به $\text{Fe}^{2+}/(\text{Fe}^{2+}+\text{Mg})$

قابل توجه بوده و بقیه عناصر مقادیر بسیار کمی را نشان می‌دهند (جدول ۱). محتوای کم TiO_2 نشان دهنده‌ی فقر ماقمای گابرویی از Ti است. این نتیجه علاوه بر نرخ ذوب بخشی زیاد، بنا بر نظر پیرس و نُری [۲۰] می‌تواند بیانگر درجه‌ی تهی شدگی در خاستگاه گوشه‌های نیز باشد. به طور کلی مقدار کم TiO_2 در نمونه‌های گابرویی هرسین می‌تواند حاکی از خروج TiO_2 در خلال رخدادهای ذوب بخشی پیشین باشد. با مقدار پایین TiO_2 نمونه‌های گابرویی، می‌توان گفت که این سنگ‌ها از یک خاستگاه گوشه‌ای به وجود آمده‌اند که دستخوش ذوب بخشی قبلی شده‌اند. در نمونه‌های گابرویی هرسین محتوای نیکل، از ۱۲۶ تا ۳۵۸، کروم از ۶۸ تا ۹۵۸ (بر حسب ppm) و محتوای سیلیس از ۴۷/۴۳ تا ۵۰/۵۰ درصد وزنی تغییر می‌کنند. مقادیر نیکل و کروم نمونه‌های مورد بررسی حضور ماقمای اولیه را رد می‌کند و این می‌تواند دال بر شکل‌گیری مagma به‌واسطه‌ی فرایندهای سنگ‌زایی پس از تشکیل و یا از یک گوشه‌ی دگرنهاد حاصل شده باشد. پارلاک و همکاران [۲۱] نشان دادند که کلینوپیروکسن‌های اولیه‌ای که از یک ماقمای بازی در فشار پایین متبلور می‌شوند، اغلب عدد منیزیم کمتر از ۸۴ دارند. عدد منیزیم نمونه‌های کلینوپیروکسن این بررسی گستره‌ای بین ۸۲ تا ۸۷ با میانگین ۸۵ دارند که نشانه ایست از تشکیل آن‌ها در فشار پایین. پایین بودن آنوتیت پلازیوکلازهای مورد بررسی ($\text{An}_{56}\text{-}\text{An}_{64}$) دال بر جدایی پلازیوکلازهای کلسیکتر در طی مراحل تبلور است. در نمودار F1-F2 [۲۲] که بر پایه‌ی ترکیب اکسید عناصر اصلی و فرعی کلینوپیروکسن برای جدایی محیط‌های زمین‌ساختی بازالت‌ها رسم شده است. ترکیب کلینوپیروکسن‌های نمونه‌های گابرویی هرسین در قلمرو بازالت‌های قوس آتش‌شکنی قرار می‌گیرند (شکل-۶).

ترکیب شیمیابی پیروکسن‌ها در سنگ‌های گابروئی منطقه‌ی هرسین دارای گستره‌ی تغییرات نسبتاً محدود SiO_2 (٪ ۱۵/۴ - ٪ ۱۸/۷)، زیاد MgO (٪ ۴۸/۳ - ٪ ۵۱/۹) و گسترد TiO_2 (٪ ۰/۵۱ - ٪ ۳/۳) است. بر پایه‌ی رده‌بندی پیروکسن‌ها، تمام نمونه‌های پیروکسن سرشار از کلسیم $\text{Wo} = ۴۸ - ۳۴$ wt% و فقیر از سدیم En_{45} ($\text{Na}_2\text{O} < ۰/۵۸$ wt%). ترکیب پیروکسن‌ها در گستره‌ی $\text{En}_{54}, \text{Fs}_{12}, \text{Wo}_{48}$ تا $\text{Fs}_6, \text{Wo}_{34}$ مثلثی ولاستونیت- انستابیت- فروسیلیت (Wo-En-Fs) ترکیب شیمیابی پیروکسن‌های مورد بررسی از نوع اوژیت دیوپسیدی است (شکل-۵). بر مبنای داده‌های پردازش الکترونی، فرمول ساختاری میانگین محاسبه شده بر پایه‌ی شش اتم اکسیژن و چهار کاتیون برای کلینوپیروکسن‌ها $(\text{Ca}_{0.86}, \text{Na}_{0.04}, \text{Mg}_{0.86}, \text{Fe}^{2+}_{0.13}, \text{Ti}_{0.04})[\text{Si}_{1.83}\text{Al}_{0.15}\text{O}_{5.94}]$ است. ترکیب میانگین ۳ نمونه پیروکسن سنگ‌های گابرویی منطقه‌ی هرسین همراه با فرمول ساختاری در جدول (۴) ارائه شده است. بهمنظور تفکیک سری تولئیتی از آهکی- قلیائی از نمودار نسبت $\text{FeO}_{\text{total}}/\text{MgO}$ در برابر سیلیس استفاده شد که در این نمودار تمام نمونه‌های مورد بررسی در گستره‌ی آهکی- قلیائی قرار گرفته‌اند. (طرح نتایج در نمودار مثلثی AFM نیز حاکی از قرار گیری نمونه‌ها در قلمرو آهکی- قلیائی است- نمودار نمایش داده نشد). بر پایه‌ی داده‌های ژئوشیمیائی عناصر اصلی، فرعی و کمیاب ارائه شده در جدول (۱)، نمونه‌های گابروی هرسین دارای گستره‌ی تغییرات در محتوای SiO_2 (٪ ۴۷/۴ - ٪ ۵۰/۵)، عبارتند از Al_2O_3 (٪ ۱۶/۵ - ٪ ۲۳/۰)، Fe_2O_3 (٪ ۱۶/۵ - ٪ ۲۳/۰)، MnO (٪ ۹/۲۱ - ٪ ۱۲/۲۵)، MgO (٪ ۳/۷۶ - ٪ ۵/۱۶)، P_2O_5 (٪ ۰/۰۸ - ٪ ۰/۱)، V (٪ ۰/۰۶ - ٪ ۰/۰۷)، Ni (٪ ۰/۰۴ - ٪ ۰/۰۷)، Co (٪ ۰/۰۳)، Sr (٪ ۰/۰۶)، Ca (٪ ۰/۰۴)، Mn (٪ ۰/۰۲)، Mn (٪ ۰/۰۱)، Cr (٪ ۰/۰۰)، Ti (٪ ۰/۰۰)، Zr (٪ ۰/۰۰)، Nb (٪ ۰/۰۰)، Ta (٪ ۰/۰۰)، Y (٪ ۰/۰۰)، La (٪ ۰/۰۰)، Ce (٪ ۰/۰۰)، Pr (٪ ۰/۰۰)، Nd (٪ ۰/۰۰)، Sm (٪ ۰/۰۰)، Gd (٪ ۰/۰۰)، Dy (٪ ۰/۰۰)، Ho (٪ ۰/۰۰)، Er (٪ ۰/۰۰)، Tb (٪ ۰/۰۰)، Lu (٪ ۰/۰۰)، Yb (٪ ۰/۰۰)، Lu (٪ ۰/۰۰)، Hf (٪ ۰/۰۰)، Ta (٪ ۰/۰۰)، Nb (٪ ۰/۰۰)، Zr (٪ ۰/۰۰)، Y (٪ ۰/۰۰)، La (٪ ۰/۰۰)، Ce (٪ ۰/۰۰)، Pr (٪ ۰/۰۰)، Nd (٪ ۰/۰۰)، Sm (٪ ۰/۰۰)، Dy (٪ ۰/۰۰)، Ho (٪ ۰/۰۰)، Er (٪ ۰/۰۰)، Lu (٪ ۰/۰۰)، Hf (٪ ۰/۰۰)، Ta (٪ ۰/۰۰)، Nb (٪ ۰/۰۰)، Zr (٪ ۰/۰۰)، Y (٪ ۰/۰۰)، La (٪ ۰/۰۰)، Ce (٪ ۰/۰۰)، Pr (٪ ۰/۰۰)، Nd (٪ ۰/۰۰)، Sm (٪ ۰/۰۰)، Dy (٪ ۰/۰۰)، Ho (٪ ۰/۰۰)، Er (٪ ۰/۰۰)، Lu (٪ ۰/۰۰)، Hf (٪ ۰/۰۰)، Ta (٪ ۰/۰۰)، Nb (٪ ۰/۰۰)، Zr (٪ ۰/۰۰)، Y (٪ ۰/۰۰)، La (٪ ۰/۰۰)، Ce (٪ ۰/۰۰)، Pr (٪ ۰/۰۰)، Nd (٪ ۰/۰۰)، Sm (٪ ۰/۰۰)، Dy (٪ ۰/۰۰)، Ho (٪ ۰/۰۰)، Er (٪ ۰/۰۰)، Lu (٪ ۰/۰۰)، Hf (٪ ۰/۰۰)، Ta (٪ ۰/۰۰)، Nb (٪ ۰/۰۰)، Zr (٪ ۰/۰۰)، Y (٪ ۰/۰۰)، La (٪ ۰/۰۰)، Ce (٪ ۰/۰۰)، Pr (٪ ۰/۰۰)، Nd (٪ ۰/۰۰)، Sm (٪ ۰/۰۰)، Dy (٪ ۰/۰۰)، Ho (٪ ۰/۰۰)، Er (٪ ۰/۰۰)، Lu (٪ ۰/۰۰)، Hf (٪ ۰/۰۰)، Ta (٪ ۰/۰۰)، Nb (٪ ۰/۰۰)، Zr (٪ ۰/۰۰)، Y (٪ ۰/۰۰)، La (٪ ۰/۰۰)، Ce (٪ ۰/۰۰)، Pr (٪ ۰/۰۰)، Nd (٪ ۰/۰۰)، Sm (٪ ۰/۰۰)، Dy (٪ ۰/۰۰)، Ho (٪ ۰/۰۰)، Er (٪ ۰/۰۰)، Lu (٪ ۰/۰۰)، Hf (٪ ۰/۰۰)، Ta (٪ ۰/۰۰)، Nb (٪ ۰/۰۰)، Zr (٪ ۰/۰۰)، Y (٪ ۰/۰۰)، La (٪ ۰/۰۰)، Ce (٪ ۰/۰۰)، Pr (٪ ۰/۰۰)، Nd (٪ ۰/۰۰)، Sm (٪ ۰/۰۰)، Dy (٪ ۰/۰۰)، Ho (٪ ۰/۰۰)، Er (٪ ۰/۰۰)، Lu (٪ ۰/۰۰)، Hf (٪ ۰/۰۰)، Ta (٪ ۰/۰۰)، Nb (٪ ۰/۰۰)، Zr (٪ ۰/۰۰)، Y (٪ ۰/۰۰)، La (٪ ۰/۰۰)، Ce (٪ ۰/۰۰)، Pr (٪ ۰/۰۰)، Nd (٪ ۰/۰۰)، Sm (٪ ۰/۰۰)، Dy (٪ ۰/۰۰)، Ho (٪ ۰/۰۰)، Er (٪ ۰/۰۰)، Lu (٪ ۰/۰۰)، Hf (٪ ۰/۰۰)، Ta (٪ ۰/۰۰)، Nb (٪ ۰/۰۰)، Zr (٪ ۰/۰۰)، Y (٪ ۰/۰۰)، La (٪ ۰/۰۰)، Ce (٪ ۰/۰۰)، Pr (٪ ۰/۰۰)، Nd (٪ ۰/۰۰)، Sm (٪ ۰/۰۰)، Dy (٪ ۰/۰۰)، Ho (٪ ۰/۰۰)، Er (٪ ۰/۰۰)، Lu (٪ ۰/۰۰)، Hf (٪ ۰/۰۰)، Ta (٪ ۰/۰۰)، Nb (٪ ۰/۰۰)، Zr (٪ ۰/۰۰)، Y (٪ ۰/۰۰)، La (٪ ۰/۰۰)، Ce (٪ ۰/۰۰)، Pr (٪ ۰/۰۰)، Nd (٪ ۰/۰۰)، Sm (٪ ۰/۰۰)، Dy (٪ ۰/۰۰)، Ho (٪ ۰/۰۰)، Er (٪ ۰/۰۰)، Lu (٪ ۰/۰۰)، Hf (٪ ۰/۰۰)، Ta (٪ ۰/۰۰)، Nb (٪ ۰/۰۰)، Zr (٪ ۰/۰۰)، Y (٪ ۰/۰۰)، La (٪ ۰/۰۰)، Ce (٪ ۰/۰۰)، Pr (٪ ۰/۰۰)، Nd (٪ ۰/۰۰)، Sm (٪ ۰/۰۰)، Dy (٪ ۰/۰۰)، Ho (٪ ۰/۰۰)، Er (٪ ۰/۰۰)، Lu (٪ ۰/۰۰)، Hf (٪ ۰/۰۰)، Ta (٪ ۰/۰۰)، Nb (٪ ۰/۰۰)، Zr (٪ ۰/۰۰)، Y (٪ ۰/۰۰)، La (٪ ۰/۰۰)، Ce (٪ ۰/۰۰)، Pr (٪ ۰/۰۰)، Nd (٪ ۰/۰۰)، Sm (٪ ۰/۰۰)، Dy (٪ ۰/۰۰)، Ho (٪ ۰/۰۰)، Er (٪ ۰/۰۰)، Lu (٪ ۰/۰۰)، Hf (٪ ۰/۰۰)، Ta (٪ ۰/۰۰)، Nb (٪ ۰/۰۰)، Zr (٪ ۰/۰۰)، Y (٪ ۰/۰۰)، La (٪ ۰/۰۰)، Ce (٪ ۰/۰۰)، Pr (٪ ۰/۰۰)، Nd (٪ ۰/۰۰)، Sm (٪ ۰/۰۰)، Dy (٪ ۰/۰۰)، Ho (٪ ۰/۰۰)، Er (٪ ۰/۰۰)، Lu (٪ ۰/۰۰)، Hf (٪ ۰/۰۰)، Ta (٪ ۰/۰۰)، Nb (٪ ۰/۰۰)، Zr (٪ ۰/۰۰)، Y (٪ ۰/۰۰)، La (٪ ۰/۰۰)، Ce (٪ ۰/۰۰)، Pr (٪ ۰/۰۰)، Nd (٪ ۰/۰۰)، Sm (٪ ۰/۰۰)، Dy (٪ ۰/۰۰)، Ho (٪ ۰/۰۰)، Er (٪ ۰/۰۰)، Lu (٪ ۰/۰۰)، Hf (٪ ۰/۰۰)، Ta (٪ ۰/۰۰)، Nb (٪ ۰/۰۰)، Zr (٪ ۰/۰۰)، Y (٪ ۰/۰۰)، La (٪ ۰/۰۰)، Ce (٪ ۰/۰۰)، Pr (٪ ۰/۰۰)، Nd (٪ ۰/۰۰)، Sm (٪ ۰/۰۰)، Dy (٪ ۰/۰۰)، Ho (٪ ۰/۰۰)، Er (٪ ۰/۰۰)، Lu (٪ ۰/۰۰)، Hf (٪ ۰/۰۰)، Ta (٪ ۰/۰۰)، Nb (٪ ۰/۰۰)، Zr (٪ ۰/۰۰)، Y (٪ ۰/۰۰)، La (٪ ۰/۰۰)، Ce (٪ ۰/۰۰)، Pr (٪ ۰/۰۰)، Nd (٪ ۰/۰۰)، Sm (٪ ۰/۰۰)، Dy (٪ ۰/۰۰)، Ho (٪ ۰/۰۰)، Er (٪ ۰/۰۰)، Lu (٪ ۰/۰۰)، Hf (٪ ۰/۰۰)، Ta (٪ ۰/۰۰)، Nb (٪ ۰/۰۰)، Zr (٪ ۰/۰۰)، Y (٪ ۰/۰۰)، La (٪ ۰/۰۰)، Ce (٪ ۰/۰۰)، Pr (٪ ۰/۰۰)، Nd (٪ ۰/۰۰)، Sm (٪ ۰/۰۰)، Dy (٪ ۰/۰۰)، Ho (٪ ۰/۰۰)، Er (٪ ۰/۰۰)، Lu (٪ ۰/۰۰)، Hf (٪ ۰/۰۰)، Ta (٪ ۰/۰۰)، Nb (٪ ۰/۰۰)، Zr (٪ ۰/۰۰)، Y (٪ ۰/۰۰)، La (٪ ۰/۰۰)، Ce (٪ ۰/۰۰)، Pr (٪ ۰/۰۰)، Nd (٪ ۰/۰۰)، Sm (٪ ۰/۰۰)، Dy (٪ ۰/۰۰)، Ho (٪ ۰/۰۰)، Er (٪ ۰/۰۰)، Lu (٪ ۰/۰۰)، Hf (٪ ۰/۰۰)، Ta (٪ ۰/۰۰)، Nb (٪ ۰/۰۰)، Zr (٪ ۰/۰۰)، Y (٪ ۰/۰۰)، La (٪ ۰/۰۰)، Ce (٪ ۰/۰۰)، Pr (٪ ۰/۰۰)، Nd (٪ ۰/۰۰)، Sm (٪ ۰/۰۰)، Dy (٪ ۰/۰۰)، Ho (٪ ۰/۰۰)، Er (٪ ۰/۰۰)، Lu (٪ ۰/۰۰)، Hf (٪ ۰/۰۰)، Ta (٪ ۰/۰۰)، Nb (٪ ۰/۰۰)، Zr (٪ ۰/۰۰)، Y (٪ ۰/۰۰)، La (٪ ۰/۰۰)، Ce (٪ ۰/۰۰)، Pr (٪ ۰/۰۰)، Nd (٪ ۰/۰۰)، Sm (٪ ۰/۰۰)، Dy (٪ ۰/۰۰)، Ho (٪ ۰/۰۰)، Er (٪ ۰/۰۰)، Lu (٪ ۰/۰۰)، Hf (٪ ۰/۰۰)، Ta (٪ ۰/۰۰)، Nb (٪ ۰/۰۰)، Zr (٪ ۰/۰۰)، Y (٪ ۰/۰۰)، La (٪ ۰/۰۰)، Ce (٪ ۰/۰۰)، Pr (٪ ۰/۰۰)، Nd (٪ ۰/۰۰)، Sm (٪ ۰/۰۰)، Dy (٪ ۰/۰۰)، Ho (٪ ۰/۰۰)، Er (٪ ۰/۰۰)، Lu (٪ ۰/۰۰)، Hf (٪ ۰/۰۰)، Ta (٪ ۰/۰۰)، Nb (٪ ۰/۰۰)، Zr (٪ ۰/۰۰)، Y (٪ ۰/۰۰)، La (٪ ۰/۰۰)، Ce (٪ ۰/۰۰)، Pr (٪ ۰/۰۰)، Nd (٪ ۰/۰۰)، Sm (٪ ۰/۰۰)، Dy (٪ ۰/۰۰)، Ho (٪ ۰/۰۰)، Er (٪ ۰/۰۰)، Lu (٪ ۰/۰۰)، Hf (٪ ۰/۰۰)، Ta (٪ ۰/۰۰)، Nb (٪ ۰/۰۰)، Zr (٪ ۰/۰۰)، Y (٪ ۰/۰۰)، La (٪ ۰/۰۰)، Ce (٪ ۰/۰۰)، Pr (٪ ۰/۰۰)، Nd (٪ ۰/۰۰)، Sm (٪ ۰/۰۰)، Dy (٪ ۰/۰۰)، Ho (٪ ۰/۰۰)، Er (٪ ۰/۰۰)، Lu (٪ ۰/۰۰)، Hf (٪ ۰/۰۰)، Ta (٪ ۰/۰۰)، Nb (٪ ۰/۰۰)، Zr (٪ ۰/۰۰)، Y (٪ ۰/۰۰)، La (٪ ۰/۰۰)، Ce (٪ ۰/۰۰)، Pr (٪ ۰/۰۰)، Nd (٪ ۰/۰۰)، Sm (٪ ۰/۰۰)، Dy (٪ ۰/۰۰)، Ho (٪ ۰/۰۰)، Er (٪ ۰/۰۰)، Lu (٪ ۰/۰۰)، Hf (٪ ۰/۰۰)، Ta (٪ ۰/۰۰)، Nb (٪ ۰/۰۰)، Zr (٪ ۰/۰۰)، Y (٪ ۰/۰۰)، La (٪ ۰/۰۰)، Ce (٪ ۰/۰۰)، Pr (٪ ۰/۰۰)، Nd (٪ ۰/۰۰)، Sm (٪ ۰/۰۰)، Dy (٪ ۰/۰۰)، Ho (٪ ۰/۰۰)، Er (٪ ۰/۰۰)، Lu (٪ ۰/۰۰)، Hf (٪ ۰/۰۰)، Ta (٪ ۰/۰۰)، Nb (٪ ۰/۰۰)، Zr (٪ ۰/۰۰)، Y (٪ ۰/۰۰)، La (٪ ۰/۰۰)، Ce (٪ ۰/۰۰)، Pr (٪ ۰/۰۰)، Nd (٪ ۰/۰۰)، Sm (٪ ۰/۰۰)، Dy (٪ ۰/۰۰)، Ho (٪ ۰/۰۰)، Er (٪ ۰/۰۰)، Lu (٪ ۰/۰۰)، Hf (٪ ۰/۰۰)، Ta (٪ ۰/۰۰)، Nb (٪ ۰/۰۰)، Zr (٪ ۰/۰۰)، Y (٪ ۰/۰۰)، La (٪ ۰/۰۰)، Ce (٪ ۰/۰۰)، Pr (٪ ۰/۰۰)، Nd (٪ ۰/۰۰)، Sm (٪ ۰/۰۰)، Dy (٪ ۰/۰۰)، Ho (٪ ۰/۰۰)، Er (٪ ۰/۰۰)، Lu (٪ ۰/۰۰)، Hf (٪ ۰/۰۰)، Ta (٪ ۰/۰۰)، Nb (٪ ۰/۰۰)، Zr (٪ ۰/۰۰)، Y (٪ ۰/۰۰)، La (٪ ۰/۰۰)، Ce (٪ ۰/۰۰)، Pr (٪ ۰/۰۰)، Nd (٪ ۰/۰۰)، Sm (٪ ۰/۰۰)، Dy (٪ ۰/۰۰)، Ho (٪ ۰/۰۰)، Er (٪ ۰/۰۰)، Lu (٪ ۰/۰۰)، Hf (٪ ۰/۰۰)، Ta (٪ ۰/۰۰)، Nb (٪ ۰/۰۰)، Zr (٪ ۰/۰۰

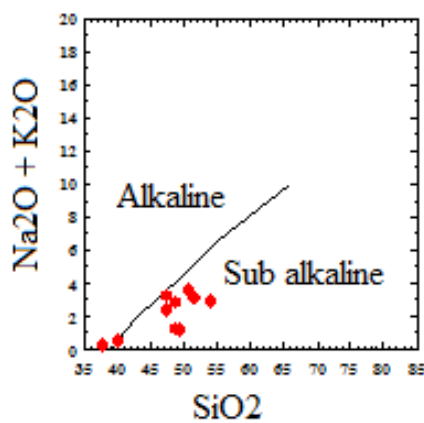


شکل ۶ موقعیت ترکیب کلینوپیروکسن گابروهای هرسین در نمودار F1-F2.

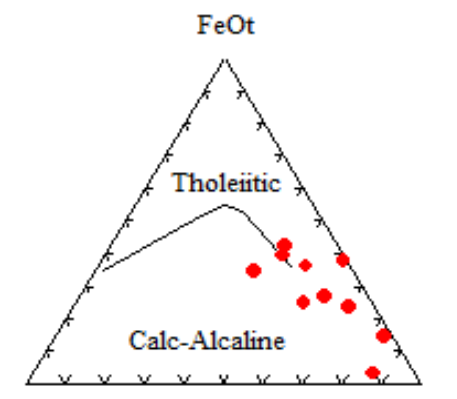


شکل ۵ ترکیب پیروکسن سنگ‌های گابرویی هرسین در نمودار En-Fs-Wo مثلثی.

وابسته به مقدار فورستریت است، مقدار بالای نیکل موجود در نمونه‌های صحنه می‌تواند حاکی از تبلور از مagma نسبتاً اولیه باشد.



شکل ۷ نمودار قلیایی-سیلیس نمونه‌های مافیک و اولترامافیک صحنه.



شکل ۸ نمودار AFM نمونه‌های مافیک و اولترامافیکی صحنه.

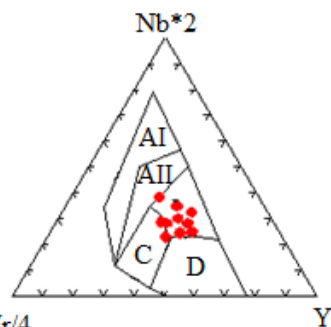
نتایج بررسی نمونه‌های سنگی اولترامافیک و مافیک منطقه‌ی صحنه نیز در نمودارهای مختلفی رسم شده‌اند که برخی از آن‌ها ارائه شده و بقیه‌ی نمودارها صرفاً به نتایج حاصل از آن‌ها اشاره شده است. طرح این نتایج در نمودارهای مختلف حاکی از تشکیل آن‌ها در محیط زمین‌ساختی متفاوتی نسبت به نمونه‌های منطقه‌ی هرسین است. نمودار قلیایی-سیلیس (شکل-۷) حاکی از آن است که نمونه‌های اولترامافیک و مافیک صحنه در میدان ساب قلیایی قرار می‌گیرند. برای تعیین تغییرات و روندهای جدایش magma‌های تولیتی و آهکی-قلیایی از نمودار AFM استفاده شد و نتایج سنگ‌های اولترامافیک و مافیک در این نمودار نشان داده شده‌اند (شکل-۸) که حاکی از قرار گیری نمونه‌ها در میدان تولیتی است.

برای تعیین جزئیات magma‌های تولیتی منطقه‌ی صحنه از نمودار جنسن [۲۲] استفاده شد که نتایج حاکی از آن است که magma‌های سازنده‌ی مجموعه اولترامافیک و مافیک، یک magma‌ی تولیتی منیزیم بالا (HMT) است (شکل-۹).

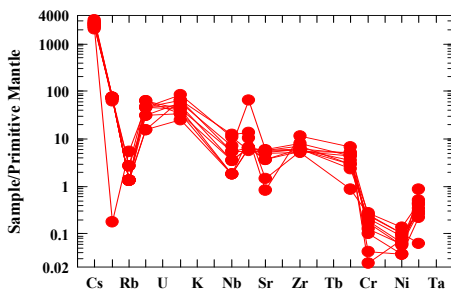
طرح نتایج نمونه‌های اولترامافیک و مافیک در نمودار دوتائی Cr-Ti نیز حاکی از آن است که magma‌ی تشکیل دهنده‌ی این مجموعه، magma‌ی پرمیزیم و فقیر از پتانسیم بوده است (وايت چرج و همکاران [۱۵] نیز در خصوص نفوذی‌های منطقه به نتیجه مشابهی رسیده‌اند). شواهد میکروسکوپی و بررسی‌های ژئوشیمیائی، از جمله بالا بودن مقدار MgO در آنالیز نمونه‌های اولترامافیک، بیانگر این هستند که الیوین در این سنگ‌ها بیشتر فورستریتی است، مقدار NiO نیز تا حدی

بی‌亨جاري مثبت Sr و La در الگوی هر یک از نمونه‌ها مشاهده می‌شود. بررسی الگوی عناصر کمیاب در نمودار عنکبوتی تقریباً یک سیر نزولی از عناصر سبک به سنگین را نشان می‌دهد. غنی شدگی از Sr را می‌توان به حضور فراوان پلازیوکلазهای کلسیک در نمونه‌های گابرویی نسبت داد؛ با توجه به نمودارهای قبلی ارائه شده و نیز بی‌亨جاري منفی سنگ‌های آذرین مناطق فرورانش به شمار آید [۲۵]. گمان می‌رود که گابروهای هرسین حاصل از مagma مشتق شده‌ای از گوشته‌ی تهی شده‌ی روی منطقه‌ی فرورانش هستند که به مقدار کمی نیز دگرنهاد شده‌اند.

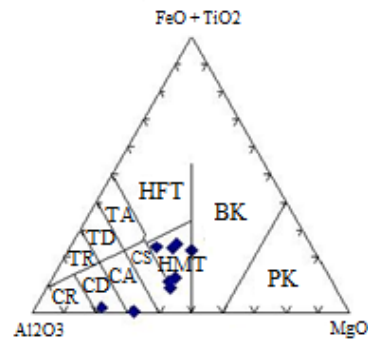
طرح نتایج بررسی‌های شیمیائی نمونه‌های اولترامافیک و مافیک صحنه در نمودارهای عنکبوتی با روندی متفاوت حاکی از این است که این سنگ‌ها نیز از عناصر جزئی سبک غنی و از عناصر جزئی سنگین فقیرند (شکل ۱۳). چنین رفتاری در این نمودارها معمولاً در تولئیتی‌های کف اقیانوس از نوع P دیده می‌شود. بر اساس مقایسه‌ی صورت گرفته بین نمودارهای عنکبوتی ناحیه‌ی مورد بررسی، جزایر اقیانوسی، تولئیت‌های نوع P و الگوی کلی این عناصر در نمودارهای قبلی یادآوری، نشان می‌دهد که مagma تشکیل دهنده‌ی مجموعه‌ی افیولیتی P صحنه از بازالت‌های نوع P است.



شکل ۱۱ نمودار مثلثی Zr, Y, Nb نمونه‌های مافیک و اولترامافیک صحنه.



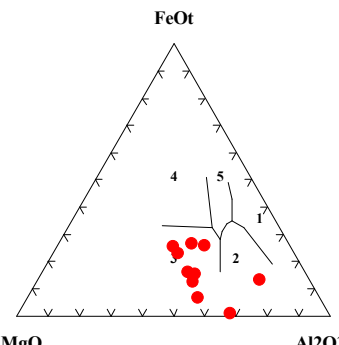
شکل ۱۳ نمودار عنکبوتی عادی سازی شده عناصر کمیاب سنگ‌های مافیکی و اولترامافیکی صحنه.



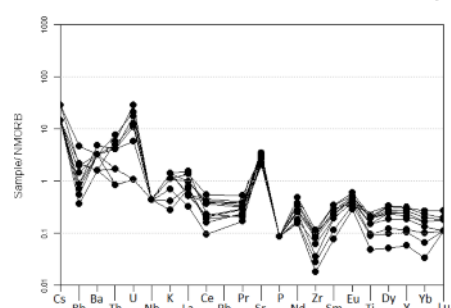
شکل ۹ نمودار جنسن (۱۹۷۶) نمونه‌های مافیک و اولترامافیکی صحنه.

محیط زمین ساختی قدیمی مربوط به منطقه‌ی صحنه به- وسیله‌ی عناصر اصلی و کمیاب به یاری نمودارهای مختلف مورد بررسی قرار گرفتند. طرح بررسی نمونه‌های اولترامافیک و مافیک منطقه‌ی صحنه در نمودار MgO-FeO-Al₂O₃ پیرس و همکاران [۲۴] (شکل ۱۰) و نمودار Ti-V شروایس (نمودار نمایش داده نشده) دال بر قرارگیری نمونه‌ها در میدان بازالت‌های پشتی میان اقیانوسی یا MORB است. همچنین توزیع نتایج بررسی در نمودار Zr-Nb-Y بیانگر قرار گیری نمونه‌ها در میدان E.MORB است (شکل ۱۱).

نمودار عنکبوتی عناصر سنگ‌های گابرویی هرسین شکل ۱۲ نشان داده شده است، بی‌亨جاري منفی Ce, Zr و Nb در برابر



شکل ۱۰ نمودار Al₂O₃, MgO, FeOt نمونه‌های مافیک و اولترامافیکی صحنه.



شکل ۱۲ نمودار عنکبوتی عادی سازی شده عناصر کمیاب سنگ‌های گابرویی هرسین.

تاثیر پلوم گوشه‌ای در زون تبدیل اقیانوس - قاره در حاشیه جنوبی اقیانوس تیس تفسیر نموده‌اند. الهیاری و همکاران [۲] پیشنهاد کردند که غنی شدگی مشاهده شده از LREE در هارزبورژیتها و لرزه‌لیت‌ها حاصل گردش سیالات مشتق شده از فرورانش در گوشه‌تهی شده پس از خروج مذاب بونینیتی است. با اتمام ماقماتیسم در زون سنندج- سیرجان در کرتاسه پیانی، ممکن است پوسته نئوتیس در این زمان شکسته شده و به زیر خود فرورانش نموده باشد، این فرورانش سبب ایجاد یک حوضه پشت قوس- قوس در نئوتیس گردیده است. در این زمان فرورانش نئوتیس به زیر سنندج - سیرجان متوقف شده و با فرورانش نئوتیسی به زیر خود و گسترش حوضه پشت قوس- قوس در افیولیت‌های کرمانشاه به وجود آمده‌اند. تمامی مجموعه‌های بازی و اولترابازی در هرسین روی زون فرورانش نئوتیسی در زیر اوراسیا بوده‌اند، کارهای صورت گرفته توسط وايت چرچ و همکاران [۱۵] روی رسوب‌های منطقه‌ی کامیاران و شمال صحنه - هرسین دال بر آن است که ماقماتیسم وابسته به فرورانش بیشتر بین پالتوسن و ائوسن فعال بوده است. دوره‌ی خاموشی ماقماتیسم از پالتوسن تا ائوسن در زون سنندج- سیرجان با ماقماتیسم قوس در کرمانشاه همزمان است. با خاتمه ماقماتیسم کوتاه مدت در کرمانشاه دوباره در ائوسن میانی ماقماتیسم با یک جایجایی ۲۰۰ کیلومتری به داخل کشور، این بار در راستای قوس ارومیه- دختر از سر گرفته شده است. شواهد به دست آمده به‌وضوح حاکی از آن است که افیولیت‌های صحنه و هرسین وابسته به یک قوس ماقمایی هستند که در لیتوسفر اقیانوسی نئوتیس وجود داشته است. ولی ماقماتیسم مورب در پاسخ به تغییرات صورت گرفته حین همگرایی نئوتیس نیز صورت پذیرفته است. در خلال پالتوسن - ائوسن نرخ همگرایی در حاشیه‌ی قاره‌ای اوراسیا کاهش یافت که ممکن است این کاهش در نرخ همگرایی به‌دلیل آن باشد که زبانه فرورو به‌دلایلی که قبل‌اً ذکر گردید به عقب کشیده شده و منجر به ایجاد یک کشش در بخش پشت قوس در حاشیه‌ی اوراسیا شده است، که خود می‌تواند توضیحی بر اختلاط و همزمانی ماقماتیسم‌های نوع MORB و OIA و نیز فقدان یک سیر تکاملی ماقمایی از سنگ‌های از سنگ‌های تهی شده به غنی شده در مناطق مورد بررسی باشد. به هر حال شواهد حاکی از آن‌د که مجموعه‌های بازالتی یاد شده در شرایط مشابهی از نظر زمین ساختی شکل نگرفته‌اند. الگوهای عناصر LREE و HREE دال بر مخلوط شدگی‌های مختلف بین خاستگاه‌های

همگرایی بین عربستان و ایران با نرخ $2\text{ cm}^3/\text{yr}$ به شکل مایل با زاویه 60° است [۲۶]. به علت آنکه قطب چرخش همگرایی عربی- اوراسیایی در شرق مدیترانه قرار دارد لذا نرخ همگرایی به سمت شرق در راستای کمربند کوه‌زایی زاگرس از $1.8\text{ cm}^3/\text{yr}$ تا $1.5\text{ cm}^3/\text{yr}$ در شمال غرب تا $2.8\text{ cm}^3/\text{yr}$ در جنوب شرق افزایش می‌یابد. شواهد لرزه‌ای حاکی از آن بوده است که در زیر سنندج- سیرجان و زاگرس یک لیتوسفر عربی مشابه وجود دارد که به شیبی معادل 50° به سمت شمال شرق دیده می‌شود [۲۷]. این زبانه در زیر بخش زاگرس مرکزی به صورت زیر رانده و در بخش شمال غرب زاگرس به صورت فرورانشی است. گسترش شکستگی زبانه به سمت آناتولی منجر به شکل گیری گسل شمال آناتولی شده است [۲۸]. در ایران حضور آدکیت‌های غنی از سیلیس زاگرس (منطقه‌ی انار) وابسته به این شکستگی دانسته شده است [۲۹]. پس از شروع زیر راندگی قاره‌ای در زاگرس سرعت صفحه‌ی عربی از $2.4\text{ cm}^3/\text{yr}$ به $3.1\text{ cm}^3/\text{yr}$ یعنی در حدود 30% کاهش یافته است و تغییر نرخ همگرایی در بخش شمالی و بخش‌های مرکزی و جنوبی به عنوان یکی از عوامل مهم در شکسته شدن زبانه به شمار می‌آید. علاوه بر شکسته شدن زبانه؛ با تداوم فرورانش، زبانه فرورو به سمت عقب نیز کشیده شده است و این رخداد با عقب نشینی گودال نیز همراه گردیده است. مودرئو و همکاران [۳۰] بلوک بیستون را به عنوان یک بلوک قاره‌ای چگال در شمال غرب زاگرس یک عامل مهم در افزایش عقب نشینی زبانه می‌دانند. البته شروع زیرراندگی لیتوسفر قاره‌ای عربی به زیر سنندج- سیرجان را نیز می‌توان به عنوان عامل دیگری در وقوع این عقب نشینی به شمار آورد. مطالعات اخیر حاکی از آن است که بیشتر افیولیت‌های زاگرس در محیط جزایر قوسی درون اقیانوسی تشکیل شده‌اند. به گونه‌ای که فرورانش درون اقیانوسی باعث شکل گیری جزایر قوسی نابالغی قبل از بسته شدن اقیانوس نئوتیس شده است، اضمحلال زبانه فرورو منجر به ایجاد یک فاز کششی بزرگ مقیاس در ورقه اقیانوسی شده و به موجب آن افیولیت‌های سوپرا سابداکشن زاگرس شکل گرفته‌اند. و Wrobel-Deveau همکاران [۱۶] پیشنهاد نمودند که افیولیت‌های کرمانشاه بخشی از یک حوضه اقیانوسی کافت شده در زون انتقال قاره - اقیانوس بوده که در جنوب اقیانوس نئوتیس شکل گرفته است. کارهای اخیر Saccani و همکاران [۱۷] این افیولیت‌ها را صرف نظر از سن و واحدهای متفاوت که ویژگی OIB و MORB دارند را به عنوان یک حوضه اقیانوسی افزایشی تحت

dominated process", Geological Magazine 148(2011) 692–725.

[2] Allahyari K., Saccani E., Pourmoafi M., Beccaluva L., Masoudi F., "Petrology of mantle peridotites and intrusive mafic rocks from the Kermanshah ophiolitic complex(Zagros belt, Iran): implications for the geodynamic evolution of the Neo-Tethyan oceanic branch between Arabia and Iran", *Ophioliti* 35 (2010) 71–90.

[3] Hassanzadeh J., Stockli D.F., Horton B.K., Axen G.J., Stockli L.D., Grove M., Schmitt A., Walker J.D., "U-Pb zircon geochronology of upper Neoproterozoic-Early Cambrian granitoids in Iran: Implications for paleogeography, metallogeny, and exhumation history of Iranian basement", *Tectonophysics* 451(2008) 71–96.

[4] Azizi H., Moinevaziri H., "Review of the tectonic setting of Cretaceous to Quaternary volcanism in northwestern Iran", *J. Geodyn.* 47(2009) 167–179.

[5] Mohajjal M., Fergusson C.L., Sahandi M.R., "Cretaceous-Tertiary convergence and continental collision, Sanandaj-Sirjan Zone, western Iran", *J. Asian Earth Sci.* 21(2003) 397–412.

[6] Alirezaei S., Hassanzadeh J., "Geochemistry and zircon geochronology of the Permian A-type Hasanrobat granite, Sanandaj-Sirjan belt: A new record of the Gondwana break-up in Iran", *Lithos*, 151. (2012) 122-134.

[7] Robertson A.H.F., Parlak O., Rızaoglu T., Ünlügenç Ü., İnan N., Tasli K., Ustaömer T., "Tectonic evolution of the South Tethyan ocean: evidence from the Eastern Taurus Mountains (Elazığ region, SE Turkey)", *Geological Society, London, Special Publications* 272 (2007) 231–270.

[8] Hassanipak A.A., Ghazi A.M., "Petrology, geochemistry and tectonic setting of the Khoy ophiolite, northwest Iran: implications for Tethyan tectonics", *J. Asian Earth Sci.* 18(2000) 109–121.

[9] Khalatbari-Jafari M., Juteau T., Bellon H., Whitechurch H., Cotton J., Emami H., "New geological and geochronological investigations on Khoy ophiolites and related formations. NW Iran", *Journal of Asian Earth Sciences* 23(2004) 507–535.

[10] Azizi H., Chung S., Tanaka T., Asahara Y., "Isotopic dating of the Khoy metamorphic complex (KMC), northwestern Iran: A significant revision of the formation age and magma source", *Precambrian Research* 185(2011) 87–94.

[11] Shahabpour J., "Island-arc affinity of the Central Iranian Volcanic Belt", *Journal of Asian Earth Sciences* 30(2007) 652–665.

استنوسفری است. تمامی کارهای انجام شده در سال‌های اخیر حاکی از آن است که افیولیت‌های منطقه‌ی کرمانشاه بیانگر حالت خاصی از یک دنباله‌ی افیولیتی هستند به گونه‌ای که بررسی‌های ژئوشیمیایی دال بر آنند که شکل‌گیری این افیولیت‌ها از عوامل زمین‌ساختی و ژئوشیمیایی مختلفی متاثر بوده است.

برداشت

داده‌های بافتی و ژئوشیمیایی افیولیت‌های دو منطقه‌ی هرسین و صحنه در غرب ایران، شواهدی از اقیانوس نئوتیس جنوبی مستقر در کرانه‌ی شمالی سپر عربی (گندوانا) را در خود ثبت کرده‌اند. ماقمatissem دنباله‌ی افیولیتی مورد بررسی شواهدی در خصوص قوس درون اقیانوسی و تولثیتی نوع P نشان می‌دهد. بررسی‌های صورت گرفته در این خصوص حاکی از آن است که اجزای اقیانوسی روی کرانه‌ی عربی در خلال اتوسن پایانی – الیگوسن آغازین روانده شده‌اند که به عنوان آغاز برخورد بین ورقه‌ی عربی و اوراسیا نیز تلقی شده است. فروانش نئوتیسی به زیر خود منجر به توقف فروانش به زیر سندج - سیرجان شد، به گونه‌ای که دوره‌ی خاموشی ماقمatissem در شمال غرب زون سندج- سیرجان مصادف با ماقمatissem قوس در کرمانشاه بوده است. تداوم فروانش در منطقه منجر به تشکیل سنگ‌های وابسته به حوضه‌ی پشت قوس - قوس در محور سنقر - بانه، محور همدان - تبریز و منطقه‌ی کرمانشاه در گستره‌ی کامیاران، صحنه و هرسین شده است. کاهش نرخ همگرایی زون فروانش و عقب نشینی زبانه فرورو، منجر به ایجاد کشش در پشت قوس در حاشیه اوراسیا شده است که می‌تواند به عنوان عاملی در اختلاط شواهد ژئوشیمیایی ماقمatissem نوع MORB و قوس مورد نظر قرار بگیرد. دومین مرحله ماقمatissem پس از یک دوره‌ی آرامش در فعالیت‌های ماقمایی، از سمت قوس سندج- سیرجان با یک جابجایی ۲۰۰ کیلومتری به سمت قوس ارومیه- دختر نقل مکان کرده است.

قدرتانی

در این کار پژوهشی، از اساتید ارجمندی که در مرحله‌ی داوری این مقاله با یادآوری اشتباهات نویسنده‌گان این نوشه را پربارتر کرده‌اند سپاسگزاریم.

مراجع

- [1] Agard P., Omrani J., Jolivet L., Whitechurch H., Vrielynck B., Spakman W., Monie P., Meyer B., Wortel R., "Zagros orogeny: a subduction-

- southern Turkey: evidence for high-pressure crystal fractionation of ultramafic cumulates", *Lithos* 65 (2002) 205-224.
- [22] Nisbet E.G., Pearce J. A., "Clinopyroxene composition in mafic lavas from different tectonic settings", *Contribution to Mineralogy and Petrology* 63 (1977) 149-160.
- [23] Jensen L. S., "A New Cation Plot for Classifying Subalkalic Volcanic Rocks", *Ontario Geological Survey Miscellaneous*, (1976). pp 66.
- [24] Pearce T. H., Gorman B. E., Birkett T. C., "The relationship between major element geochemistry and tectonic environment of basic and intermediate volcanic rocks", *Earth and Planetary Science Letters* 36(1977)121–132.
- [25] Gioncada A., Mazzuoli R., Bisson M., Pareschi M T., "Petrology of volcanic products younger than 42 ka on the Lipari-Vulcano complex (Aeolian Islands, Italy): an example of volcanism controlled by tectonics", *Journal Volcanology Geotherm. Research*. 122 (2003) 191-220.
- [26] Reilinger R., McClusky S., "Nubia–Arabia–Eurasia platemotions and the dynamics of Mediterranean and Middle East tectonics", *Geophysical Journal International* 186 (2011)971–979.
- [27] Vergés J., Saura E., Casciello E., Fernández M., Villaseñor A., Jiménez-Munt I., García-Castellanos D., "Crustal-scale cross-section across the NW Zagros Belt: implications for the Arabian Margin reconstruction, In: Lacombe, O., Grasemann, B., Simpson, G. (Eds.), *Geodynamic Evolution of the Zagros*", *Geological Magazine*, 148, (2011b) 739–761 (5–6).
- [28] Faccenna C., Bellier O., Martinod J., Piromallo C., Regard V., "Slab detachment beneath eastern Anatolia: a possible cause for the formation of the North Anatolian fault", *Earth and Planetary Science Letters* 242 (1–2) (2006)85–97.
- [29] Omrani J., Agard P., Whitechurch H., Benoit M., Prouteau G., Jolivet L., "Arc magmatism and subduction history beneath Zagros: new report of adakites and geodynamic consequences", *Lithos* 106:3–4 (2008) 380–398.
- [30] Moutherneau F., Lacombe O., Vergés J., "Building the Zagros collisional orogen: timing, strain distribution and the dynamics of Arabia/Eurasia plate convergence", *Tectonophysics* 532-5(2012) 27–60.
- [12] Ghasemi A., Talbot C.J., "A new tectonic scenario for the Sanandaj–Sirjan Zone (Iran)", *J. Asian Earth Sci.* 26(2006) 683–693.
- [13] Gharib F., "Biostratigraphie des radiolarites de Kermanshah (Iran)", Unpublished doctoral dissertation, Museum Nationald'Histoire Naturelle –Paris (2009) 343 p.
- [14] Delaloye M., Desmons J., "Ophiolites and melange terranes in Iran: a geochronological study and its paleotectonic implications", *Tectonophysics* 68(1980)83–111.
- [15] Whitechurch H., Omrani J., Agard P., Humbert F., Montigny R., Jolivet L., "Evidence for Paleocene–Eocene evolution of the foot of the Eurasian margin (Kermanshah ophiolite, SW Iran) from back-arc to arc: Implications for regional geodynamics and obduction", *Lithos* 182–183(2013)11–32.
- [16] Wrobel-Daveau J.C., Ringenbach J.C., Tavakoli S., Ruiz G., Masse P., Frizonde Lamotte D., "Evidence for mantle exhumation along the Arabian margin in the Zagros (Kermanshah area, Iran)", *Arabian Journal of Geosciences*.Springer 3(2010) 499–513.
- [17] Saccani E., Allahyari K., Beccaluva L., Bianchini G., "Geochemistry and petrology of the Kermanshah ophiolites(Iran):implication for the interaction between passive rifting,oceanic accretion and OIB-type components in the Southern Neo-Tethys Ocean", *Gondwana Research* 24 (1), (2013) 392–411.
- [18] Allahyari K., Saccani E., Rahimzadeh B., Zeda O., "Mineral chemistry and petrology of highly magnesian ultramafic cumulates from the Sarve-Abad (Saw lava) ophiolites (Kurdistan, NW Iran): New evidence for boninitic magmatism in intra-oceanic fore-arc setting in the Neo-Tethys between Arabia and Iran", *Journal of Asian Earth Sciences* 79 (2014)312–328.
- [19] Nicolas A., Boudier F., Bouchez J.L., "Interpretation of peridotite structures from ophiolitic and oceanic environments, *American Journ.of Sciences*, 280 A(1980) 192–210.
- [20] Pearce J.A., Norry M.J., "Petrogenetic implications of Ti, Zr, Y, and Nb variations in volcanic rocks", *Contrib. Mineral.Petrol.*, 69(1979)33-47.
- [21] Parlak O., Hoček V., Delaloye M., "The supra-subduction zone Pozanti–Karsanti ophiolite,